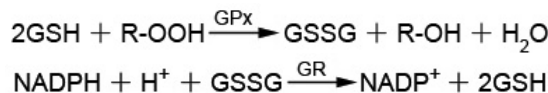


谷胱甘肽过氧化物酶检测试剂盒(NADPH法)

产品编号	产品名称	包装
S0056	谷胱甘肽过氧化物酶检测试剂盒(NADPH法)	100次

产品简介:

- 谷胱甘肽过氧化物酶检测试剂盒(NADPH法)(Cellular Glutathione Peroxidase Assay Kit with NADPH)是一种简单易行的通过紫外比色来检测细胞、组织或其它样品中谷胱甘肽过氧化物酶(Glutathione peroxidase, GPx)活性的试剂盒。
- 绝大部分细胞内的谷胱甘肽过氧化物酶都是含硒的,且硒为该酶的活性中心组成部分。细胞内也有很少量的不含硒的谷胱甘肽过氧化物酶存在。**本试剂盒检测的是最常见的含硒的谷胱甘肽过氧化物酶。**
- 本试剂盒的使用灵活方便,样品用量和检测时间的范围宽,样品用量可以根据样品中GPx的活力在0.1-50微升之间调整,检测时间可以根据样品中GPx的活力在5-30分钟内进行调整。
- 本试剂盒和总谷胱甘肽过氧化物酶检测试剂盒(S0058)配合使用,可以定量检测出样品中不含硒的谷胱甘肽过氧化物酶。
- 谷胱甘肽过氧化物酶可以清除活细胞内的过氧化物,在保护细胞免受自由基损伤过程中起着关键作用。细胞内的脂类容易和自由基发生反应,产生脂类过氧化物。谷胱甘肽过氧化物酶可以利用还原型谷胱甘肽(GSH)还原脂类过氧化物,从而消除自由基的毒害作用。谷胱甘肽过氧化物酶几乎在所有组织中都有分布。在一些病理状况下谷胱甘肽过氧化物酶的活力会发生明显上调或下调。
- 谷胱甘肽过氧化物酶可以利用还原型谷胱甘肽(GSH)催化过氧化氢以及许多有机过氧化物,产生水或有机醇。但以过氧化氢为底物进行检测会受同样可以分解过氧化氢的过氧化氢酶(Catalase)的影响,因为过氧化氢酶的酶活性会干扰谷胱甘肽过氧化物酶的测定。本试剂盒利用了一种间接测定的方法。谷胱甘肽过氧化物酶(GPx)可以催化GSH产生GSSG,而谷胱甘肽还原酶可以利用NADPH催化GSSG产生GSH,通过在A₃₄₀检测NADPH的减少量就可以计算出谷胱甘肽过氧化物酶的活力水平。在上述反应中,谷胱甘肽过氧化物酶是整个反应体系的限速步骤,因此NADPH的减少量和谷胱甘肽过氧化物酶的活力线性相关。
- 本试剂盒利用了如下的反应原理,GPx为谷胱甘肽过氧化物酶(Glutathione peroxidase),GR为谷胱甘肽还原酶(Glutathione reductase),R-OOH为过氧化物。



- 本试剂盒提供的有机过氧化物试剂(t-Bu-OOH)在没有谷胱甘肽过氧化物酶存在的条件下不会和GSH产生反应,也不会被细胞内的过氧化氢酶催化而分解。因而可以较为特异地检测出谷胱甘肽过氧化物酶的活力。
- 由于t-Bu-OOH不能被不含硒的谷胱甘肽过氧化物酶所催化,所以本试剂盒可以比较特异地定量检测最常见的含硒的谷胱甘肽过氧化物酶。
- 本试剂盒可检测组织匀浆产物、细胞裂解产物等样品中谷胱甘肽过氧化物酶的活性。一个试剂盒可进行100次检测。

包装清单:

产品编号	产品名称	包装
S0056-1	样品匀浆液	100ml
S0056-2	谷胱甘肽过氧化物酶检测缓冲液	50ml
S0056-3	谷胱甘肽还原酶	100μl
S0056-4	NADPH	11.5mg
S0056-5	还原型谷胱甘肽(GSH)	10mg
S0056-6	过氧化物试剂(t-Bu-OOH)	200μl
—	说明书	1份

保存条件:

-20℃保存,一年有效。NADPH溶解后宜适当分装并-70℃保存,4℃可以保存一天,-20℃保存一周后NADPH会降解10%以上。GSH配制成溶液后,适当分装后-20℃保存。

注意事项:

- 本试剂盒检测时涉及氧化还原反应,因此所有氧化剂或还原剂都会干扰本试剂盒的测定。如果在样品中的还原剂无法避免,例如DTT、巯基乙醇等,则这些还原剂的总浓度至少低于0.1mM。0.15mM的DTT可以抑制40%的酶活力。

- 常用的Triton X-100、Tween-20等去垢剂都含有较高水平的过氧化物，会影响本试剂盒的测定。如果必须使用这些去垢剂，最好使用纯度较高并注明含较低过氧化物的去垢剂。
- 加入过氧化物试剂溶液后的第一次读数，例如0分钟时A₃₄₀读值不宜低于1。如果读数低于1，说明样品中的GPx活力太高，或者样品中本身的GSSG含量太高，需要将样品适当稀释或者减少样品的用量，否则反应很快就进入平台期，无法获取正常的检测数据。样品可以立即测定，也可以-70℃冻存待以后测定。
- 一定要严格控制反应时的温度为25℃，否则会引起较多误差。
- NADPH不太稳定，要严格按照后续说明操作，谨防失活。
- 本产品仅限于专业人员的科学研究用，不得用于临床诊断或治疗，不得用于食品或药品，不得存放于普通住宅内。
- 为了您的安全和健康，请穿实验服并戴一次性手套操作。

使用说明：

1. 样品的准备：

- 细胞样品的准备：**对于贴壁细胞，由于后续用于酶活性的测定，应避免使用胰酶消化细胞。可以使用EDTA处理细胞或用细胞铲或细胞刮(FLFT021/FSCP023/FSCP029)收集细胞。细胞用PBS或生理盐水洗涤一遍。后续(a)和(b)步骤可以任选其一(优先推荐步骤(a))：
 - 可以用碧云天生产的Western及IP细胞裂解液(P0013)参考相应说明裂解细胞样品。按照每100万细胞加入100-200微升裂解液的比例进行裂解。如果出现裂解效果不佳的情况，可以把处在裂解液中的细胞样品用玻璃匀浆器在4℃或冰浴匀浆。随后4℃，12,000g离心10分钟。取上清用于酶活性的测定。
 - 可以用本试剂盒中的样品匀浆液，按照每100万细胞加入100-200微升样品匀浆液的比例用玻璃匀浆器在4℃或冰浴匀浆。随后4℃，12,000g离心10分钟。取上清用于酶活性的测定。
- 组织样品的准备：**动物用含有0.16mg/ml heparin的生理盐水(0.9% NaCl containing 0.16mg/ml heparin)灌流清除血液后获取组织样品。按照约每20mg组织加入200微升样品匀浆液的比例，用TissueMaster™手持式组织研磨仪(E6600)或玻璃匀浆器在4℃或冰浴匀浆。4℃，12,000g离心10分钟。取上清用于酶活性的测定。
- 红细胞裂解液的准备：**用抗凝管收集血液，颠倒混匀。取至少500微升全血4℃ 2500g离心5分钟。弃上清，用冰冷的约红细胞沉淀10倍体积的样品匀浆液重悬沉淀，再同前离心，弃上清。加入约红细胞沉淀4倍体积的冰冷的Milli-Q级纯水裂解红细胞。12,000g离心5分钟，取上清。
- 上述各种样品可以用碧云天生产的BCA蛋白浓度测定试剂盒(P0009/P0010/P0010S/P0011/P0012/P0012S)测定蛋白浓度。通常可以先取含1-100微克蛋白的样品用于谷胱甘肽过氧化物酶的检测。注：对于GPx活力较高的组织样品，含1-10微克蛋白的样品可能就能满足检测需求，而对于GPx活力较低的样品例如某些细胞样品，可能需要10-100微克的蛋白量。如果发现样品中谷胱甘肽过氧化物酶的活力过高，可以用谷胱甘肽过氧化物酶检测缓冲液进行稀释。如果样品中谷胱甘肽过氧化物酶的活力过低，则需适当加大蛋白用量。准备好的样品如果当日测定，可以在冰浴保存，如果日后测定可以-70℃冻存。

2. 试剂盒的准备工作：

- 62.5mM NADPH溶液的配制。在本试剂盒提供的11.5mg NADPH中加入220微升Milli-Q级纯水，溶解并混匀，即为62.5mM NADPH溶液。除立即待用部分外，其余的NADPH溶液需适当分装后-70℃保存。
- 75mM GSH溶液的配制。在本试剂盒提供的10mg GSH中加入433微升Milli-Q级纯水，溶解并混匀，即为75mM GSH溶液。除立即待用部分外，其余的GSH溶液需适当分装后-20℃保存。
- GPx检测工作液的配制。根据待测定的样品数(含对照)，按照每个检测需要40微升GPx检测工作液的体积配制适量的GPx检测工作液。配制好的GPx检测工作液仅限当日使用，且需尽量在冰浴上存放。具体配制方法参考下表。

可测定样品数(含对照)	1个样品	10个样品	20个样品
谷胱甘肽过氧化物酶检测缓冲液	35 μl	350 μl	700 μl
62.5mM NADPH	2 μl	20 μl	40 μl
75mM GSH	2 μl	20 μl	40 μl
谷胱甘肽还原酶	1 μl	10 μl	20 μl
GPx检测工作液	40 μl	400 μl	800 μl

- 30mM过氧化物试剂溶液的配制。取21.5微升过氧化物试剂(t-Bu-OOH)加入5毫升Milli-Q级纯水，混匀，即配制成30mM过氧化物试剂溶液。配制好的30mM过氧化物试剂溶液仅限当日使用，且需尽量在冰浴上存放。
- 所有试剂使用前须在水浴中或PCR仪等设备上温育到25℃。

3. 样品测定：

- 参考下表，使用96孔板，依次加入检测缓冲液、待测样品和GPx检测工作液，混匀，加入40微升GPx检测工作液后，室温孵育15分钟，以消耗掉样品中的GSSG，排除对后继检测的干扰。

	空白对照(blank)	样品(sample)
谷胱甘肽过氧化物酶检测缓冲液	50 μl	0-50 μl
待测样品	—	0-50 μl
GPx检测工作液	40 μl	40 μl
总体积	90 μl	90 μl

- b. 每孔加入10微升30mM过氧化物试剂溶液，混匀。
- c. 立即使用适当的酶标仪或微量紫外分光光度计测定 A_{340} ，此时记录为0分钟读值。如果仪器可以设置温度，把温度设置在25°C，否则可以通过空调调节室温到25°C，待预计仪器也达到25°C后再开始测定 A_{340} 。
- d. 连续测定5分钟或自动每隔1分钟测定一次 A_{340} 。如果仪器不具备相应功能，可以手工操作，每隔1分钟记录 A_{340} 值，至少连续记录5分钟，获得6个点的数据。

注1：连续测定的时间可以根据样品中GPx的活力来调整，但是需确保获得6个点的数据。对于GPx的活力较高的样品，例如肝脏等组织样品，建议测定5分钟或10分钟，对应的测定间隔时间设为1分钟和2分钟；对于GPx的活力很低的样品，例如THP-1等细胞样品，可以延长测定时间为10、15或者20分钟，对应的测定间隔时间设为2、3或4分钟。也可以连续测定20分钟，每隔1分钟测定1次，最后取呈线性的时间点前的数据用于分析。

注2：如果样品的第一次读数比如0分钟时 A_{340} 读值低于1，说明样品中的GPx活力太高，或者样品中本身的GSSG含量太高，需要将样品适当稀释或者减少样品的用量。

- e. 测定出来的 $\Delta A_{340}/\text{min}$ 最好能控制在0.01-0.2范围内。如测定出来的 $\Delta A_{340}/\text{min}$ 数值过大，则可以把样品适当稀释或者减小样品的用量，如 $\Delta A_{340}/\text{min}$ 数值过小，处理样品时需设法尽量浓缩样品、并适当加大样品的用量。蛋白量为12微克的THP-1细胞样品和蛋白量为4微克的小鼠肝脏样品的检测效果参考表1、表2和图1。

表1. 蛋白量为12微克的THP-1细胞样品检测数据分析。

读值	0min	3min	6min	9min	12min	15min
A_{340} (blank)	1.75	1.63	1.57	1.50	1.42	1.35
A_{340} (sample)	1.53	1.34	1.21	1.07	0.94	0.81
ΔA_{340} (blank)	0	0.12	0.18	0.25	0.33	0.40
ΔA_{340} (sample)	0	0.19	0.32	0.46	0.59	0.72
ΔA_{340}	0	0.07	0.14	0.21	0.26	0.32
$\Delta A_{340}/\text{min}$	0	0.023	0.023	0.023	0.0217	0.0213

表2. 蛋白量为4微克的小鼠肝脏样品检测数据分析。

读值	0min	1min	2min	3min	4min	5min
A_{340} (blank)	1.66	1.65	1.64	1.61	1.52	1.49
A_{340} (sample)	1.49	1.32	1.17	0.99	0.80	0.59
ΔA_{340} (blank)	0	0.01	0.02	0.05	0.14	0.17
ΔA_{340} (sample)	0	0.17	0.32	0.50	0.69	0.90
ΔA_{340}	0	0.16	0.30	0.45	0.55	0.73
$\Delta A_{340}/\text{min}$	0	0.16	0.15	0.15	0.1375	0.146

注： ΔA_{340} (blank) = A_{340} (blank) (Time 0) - A_{340} (blank) (Time n)

ΔA_{340} (sample) = A_{340} (sample) (Time 0) - A_{340} (sample) (Time n)

ΔA_{340} = ΔA_{340} (sample) - ΔA_{340} (blank)

$\Delta A_{340}/\text{min}$ = $\Delta A_{340}/n$

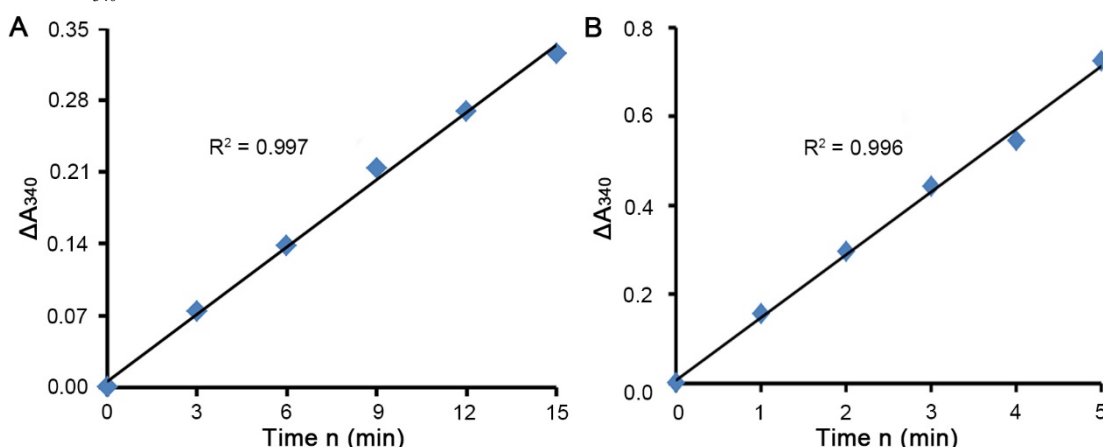


图1. 本试剂盒用于THP-1细胞样品和小鼠肝脏样品的检测效果图。横坐标为测定的各个时间点n，纵坐标为相应时间点 ΔA_{340} (sample)与 ΔA_{340} (blank)的差值即 ΔA_{340} 。图A为12微克THP-1细胞样品测定15分钟检测效果，图B为4微克小鼠肝脏样品测定5分钟检测效果。实测数据会因实验条件、检测仪器等的不同而存在差异，图中数据仅供参考。

4. 样品中谷胱甘肽过氧化物酶活力的计算：

- a. 谷胱甘肽过氧化物酶活力单位的定义：1个酶活力单位(1 unit)在25°C，pH8.0，在GSH、谷胱甘肽还原酶、t-Bu-OOH存在的条件下，在1分钟内可以催化1微摩尔NADPH转变成 NADP^+ 。1 U=1000 mU。
- b. 对于谷胱甘肽过氧化物酶溶液：1mU/ml = 1nmol NADPH/min/ml = $(\Delta A_{340}/\text{min}) / (\epsilon^{\mu\text{M}} \times L(\text{cm}))$

即相当于： $[\text{检测体系中谷胱甘肽过氧化物酶活力}] = (\Delta A_{340}/\text{min}) / (\epsilon^{\mu\text{M}} \times L(\text{cm})) = [(\Delta A_{340}(\text{sample}) - \Delta A_{340}(\text{blank})) / \text{min}] / (\epsilon^{\mu\text{M}} \times L(\text{cm}))$

$[\text{样品中谷胱甘肽过氧化物酶活力}] = [\text{检测体系中谷胱甘肽过氧化物酶活力}] \times [\text{稀释倍数}] / [\text{样品中的蛋白浓度}] = [(\Delta A_{340}/\text{min}) / (\epsilon^{\mu\text{M}} \times L(\text{cm}))] \times [\text{dil} \times (V(\text{ml}) / V_{\text{sample}}(\text{ml}))] / [\text{样品中的蛋白浓度}]$

注： $[\text{检测体系中谷胱甘肽过氧化物酶活力}]$ 的单位为mU/ml， $[\text{样品中的蛋白浓度}]$ 的单位为mg/ml，所以最终 $[\text{样品中谷胱甘肽过氧化物酶活力}]$ 的单位为：U/mg蛋白或mU/mg蛋白；

$\epsilon^{\mu\text{M}}$ 为摩尔消光系数：NADPH在 A_{340} 的摩尔消光系数为 $0.00622\mu\text{M}^{-1}\text{cm}^{-1}$ ；

$L(\text{cm})$ 为测吸光度时的路径长度：100 μl 样品在一般的96孔中的高度约为0.276cm，如果使用不同的反应孔，请注意修改为溶液在该孔中的高度；

dil为样品的稀释倍数；

$V(\text{ml})$ 为反应体系，本反应体系为0.1ml；

$V_{\text{sample}}(\text{ml})$ 为反应体系中样品的体积，以毫升表示。

- c. 计算示例：样品的蛋白浓度经测定为1.2mg/ml，用样品稀释液稀释2倍后，取20微升稀释后的样品参考表1进行测定，测定时间设为15分钟。如果0分钟时的 $A_{340}(\text{sample})=1.53$ ， $A_{340}(\text{blank})=1.75$ ，15分钟时的 $A_{340}(\text{sample})=0.81$ ， $A_{340}(\text{blank})=1.35$ ，则 $\Delta A_{340}(\text{sample})=1.53-0.81=0.72$ ， $\Delta A_{340}(\text{blank})=1.75-1.35=0.40$ ，那么：

$[\text{检测体系中谷胱甘肽过氧化物酶活力}] = [(0.72-0.40)/15] / (0.00622 \times 0.276) = 12.43\text{mU/ml}$

$[\text{样品中谷胱甘肽过氧化物酶活力}] = 12.43\text{mU/ml} \times (2 \times 0.1 / 0.02) / (1.2\text{mg/ml}) = 104\text{mU/mg}(\text{蛋白})$

相关产品

产品编号	产品名称	包装
S0052	总谷胱甘肽检测试剂盒	100次
S0053	GSH和GSSG检测试剂盒	共100次
S0055	谷胱甘肽还原酶检测试剂盒	100次
S0056	谷胱甘肽过氧化物酶检测试剂盒(NADPH法)	100次
S0057	谷胱甘肽过氧化物酶检测试剂盒(DTNB法)	100次
S0058	总谷胱甘肽过氧化物酶检测试剂盒(NADPH法)	100次
S0059	总谷胱甘肽过氧化物酶检测试剂盒(DTNB法)	100次

使用本产品的文献：

- Pan Q, Huang K, He K, Lu F. Effect of different selenium sources and levels on porcine circovirus type 2 replication in vitro. *J Trace Elem Med Biol.* 2008;22(2):143-8.
- An R, Dong C, Lei Y, Han L, Li P, Chen J, Wang G, Shi Q, Gao C, Jiang H, Zhou W, Han J, Chu Y, Dong X. PrP mutants with different numbers of octarepeat sequences are more susceptible to the oxidative stress. *Sci China C Life Sci.* 2008 Jul;51(7):630-9.
- Wang XZ, Liu SS, Sun Y, Wu JY, Zhou YL, Zhang JH. Beta-cypermethrin impairs reproductive function in male mice by inducing oxidative stress. *Theriogenology.* 2009 Sep 15;72(5):599-611.
- Xiao-Long W, Chuan-Ping Y, Kai X, Ou-Jv Q. Selenoprotein W depletion in vitro might indicate that its main function is not as an antioxidant enzyme. *Biochemistry (Mosc).* 2010 Feb;75(2):201-7.
- Han ZJ, Song G, Cui Y, Xia HF, Ma X. Oxidative stress is implicated in arsenic-induced neural tube defects in chick embryos. *Int J Dev Neurosci.* 2011 Nov;29(7):673-80.
- Chen J, Xiao S, Deng Y, Du X, Yu Z. Cloning of a novel glutathione S-transferase 3 (GST3) gene and expression analysis in pearl oyster, *Pinctada martensii*. *Fish Shellfish Immunol.* 2011 Dec;31(6):823-30.
- Wang L, Hao J, Hu J, Pu J, Lü Z, Zhao L, Wang Q, Yu Q, Wang Y, Li G. Protective Effects of Ginsenosides against Bisphenol A-Induced Cytotoxicity in 15P-1 Sertoli Cells via Extracellular Signal-Regulated Kinase 1/2 Signalling and Antioxidant Mechanisms. *Basic Clin Pharmacol Toxicol.* 2012 Jul;111(1):42-9.
- Shi J, Yin N, Xuan LL, Yao CS, Meng AM, Hou Q. Vam3, a derivative of resveratrol, attenuates cigarette smoke-induced autophagy. *Acta Pharmacol Sin.* 2012 Jul;33(7):888-96.
- Shao X, Hu Z, Hu C, Bu Q, Yan G, Deng P, Lv L, Wu D, Deng Y, Zhao J, Zhu R, Li Y, Li H, Xu Y, Yang H, Zhao Y, Cen X. Taurine protects methamphetamine-induced developmental angiogenesis defect through antioxidant mechanism. *Toxicol Appl Pharmacol.* 2012 May 1;260(3):260-70.
- Huang Y, Fang W, Wang Y, Yang W, Xiong B. Transforming growth factor- β 1 induces glutathione peroxidase-1 and protects from H₂O₂-induced cell death in colon cancer cells via the Smad2/ERK1/2/HIF-1 α pathway. *Int J Mol Med.* 2012 May;29(5):906-12.
- Zheng J, Yang B, Yu Y, Chen Q, Huang T, Li D. Ganoderma lucidum polysaccharides exert anti-hyperglycemic effect on streptozotocin-induced diabetic rats through affecting β -cells. *Comb Chem High Throughput Screen.* 2012 Aug;15(7):542-50.
- Sun WH, Liu F, Chen Y, Zhu YC. Hydrogen sulfide decreases the levels of ROS by inhibiting mitochondrial complex IV and increasing SOD activities in cardiomyocytes under ischemia/reperfusion. *Biochem Biophys Res Commun.* 2012 May 4;421(2):164-9.
- Guo C, He Z, Wen L, Zhu L, Lu Y, Deng S, Yang Y, Wei Q, Yuan H. Cytoprotective effect of trolox against oxidative damage and apoptosis in the NRK-52e cells induced by melamine. *Cell Biol Int.* 2012 Feb;36(2):183-8.
- Wu J, Tu D, Yuan LY, Yuan H, Wen LX. T-2 toxin exposure induces apoptosis in rat ovarian granulosa cells through oxidative stress. *Environ Toxicol Pharmacol.* 2013 Apr 11;36(2):493-500.
- Zhang H, Zhai Z, Wang Y, Zhang J, Wu H, Wang Y, Li C, Li D, Lu L, Wang X, Chang J, Hou Q, Ju Z, Zhou D, Meng A. Resveratrol ameliorates ionizing irradiation-induced long-term hematopoietic stem cell injury in mice. *Free Radic Biol Med.* 2013 Jan;54:40-50.
- Yu CH, Liu ZY, Sun W, Li YJ, Zhang DS, Pan RT, Sun ZL. Effect of Danofloxacin on Reactive Oxygen Species Production, Lipid Peroxidation and Antioxidant Enzyme Activities in Kidney Tubular Epithelial Cell Line, LLC-PK1. *Basic Clin Pharmacol Toxicol.* 2013 Dec;113(6):377-84.
- Ali S, Huang Z, Li H, Bashir MH, Ren S. Antioxidant enzyme influences germination, stress tolerance, and virulence of *Isaria fumosorosea*. *J Basic Microbiol.* 2013 Jun;53(6):489-97.
- Wu J, Ding T, Sun J. Neurotoxic potential of iron oxide nanoparticles in the rat brain striatum and hippocampus. *Neurotoxicology.* 2013 Jan;34:243-53.
- Li JW, Ning N, Ma YZ, Zhang R, Tan F, Chen NH. Claulansine F suppresses apoptosis induced by sodium nitroprusside in PC12 cells. *Free Radic Res.* 2013 Jul;47(6-7):488-97.
- Lei T, Li H, Fang Z, Lin J, Wang S, Xiao L, Yang F, Liu X, Zhang J, Huang Z, Liao W. Polysaccharides from *Angelica sinensis* alleviate

- neuronal cell injury caused by oxidative stress. *Neural Regen Res*. 2014 Feb 1;9(3):260-7.
21. Wu T, Tang Q, Yu Z, Gao Z, Hu H, Chen W, Zheng X, Yu T. Inhibitory effects of sweet cherry anthocyanins on the obesity development in C57BL/6 mice. *Int J Food Sci Nutr*. 2014 May;65(3):351-9.
 22. Sun H, Deng T, Fu J. Chicken 15-kDa selenoprotein plays important antioxidative function in splenocytes. *Biol Trace Elem Res*. 2014 Dec;161(3):288-96.
 23. Li C, Shi L, Chen D, Ren A, Gao T, Zhao M. Functional analysis of the role of glutathione peroxidase (GPx) in the ROS signaling pathway, hyphal branching and the regulation of ganoderic acid biosynthesis in *Ganoderma lucidum*. *Fungal Genet Biol*. 2015 Sep;82:168-80.
 24. Zhang B, Peng X, Li G, Xu Y, Xia X, Wang Q. Oxidative stress is involved in Patulin induced apoptosis in HEK293 cells. *Toxicol*. 2015 Feb;94:1-7.
 25. Yuan XH, Fan YY, Yang CR, Gao XR, Zhang LL, Hu Y, Wang YQ, Jun H. Progesterone amplifies oxidative stress signal and promotes NO production via H₂O₂ in mouse kidney arterial endothelial cells. *J Steroid Biochem Mol Biol*. 2016 Jan;155(Pt A):104-11.
 26. Wu T, Yin J, Zhang G, Long H, Zheng X. Mulberry and cherry anthocyanin consumption prevents oxidative stress and inflammation in diet-induced obese mice. *Mol Nutr Food Res*. 2016 Mar;60(3):687-94.
 27. Ren H, Yang Z, Luo C, Zeng H, Li P, Kang JX, Wan JB, He C, Su H. Enriched Endogenous Omega-3 Fatty Acids in Mice Ameliorate Parenchymal Cell Death After Traumatic Brain Injury. *Mol Neurobiol*. 2016 May 11.[Epub ahead of print]
 28. Zhang G, Zhu J, Zhou Y, Wei Y, Xi L, Qin H, Rao Z, Han M, Ma Y, Wu X. Hesperidin Alleviates Oxidative Stress and Upregulates the Multidrug Resistance Protein 2 in Isoniazid and Rifampicin-Induced Liver Injury in Rats. *J Biochem Mol Toxicol*. 2016 Jul;30(7):342-9.
 29. Xiong Y, Shang B, Xu S, Zhao R, Gou H, Wang C. Protective effect of Bu-zhong-yi-qi decoction, the water extract of Chinese traditional herbal medicine, on 5-fluorouracil-induced renal injury in mice. *Ren Fail*. 2016 Sep;38(8):1240-8.
 30. Wu T, Yin J, Zhang G, Long H, Zheng X. Mulberry and cherry anthocyanin consumption prevents oxidative stress and inflammation in diet-induced obese mice. *Mol Nutr Food Res*. 2016 Mar;60(3):687-94.
 31. He Z, Zhang L, Zhuo C, Jin F, Wang Y. Apoptosis inhibition effect of Dihydromyricetin against UVA-exposed human keratinocyte cell line. *J Photochem Photobiol B*. 2016 Aug;161:40-9.
 32. Zhang WY, Niu CJ, Chen BJ, Yuan L. Antioxidant responses in hibernating Chinese soft-shelled turtle *Pelodiscus sinensis* hatchlings. *Comp Biochem Physiol A Mol Integr Physiol*. 2017 Feb; 204:9-16.
 33. Hu W, Wang H, Liu Z, Liu Y, Wang R, Luo X, Huang Y. Neuroprotective effects of lycopene in spinal cord injury in rats via antioxidant and anti-apoptotic pathway. *Neurosci Lett*. 2017 Feb 2. pii:S0304-3940(17)30102-7.
 34. Zhu Z, Chen Y, Shi G, Zhang X. Selenium delays tomato fruit ripening by inhibiting ethylene biosynthesis and enhancing the antioxidant defense system. *Food Chem*. 2017 Mar 15;219:179-184.

Version 2020.05.07